

Seitenzahl 1

Eingabe: Farbmétrisches Reflexions-System NCS11

für Buntton $h^* = lab^*h = 91/360 = 0.252$

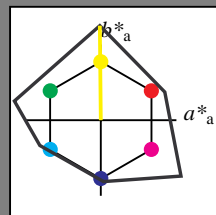
lab^*tch und lab^*nch

D65: Buntton J

LCH*Ma: 91 125 91

rgb*Ma: 1.0 1.0 0.0

Dreiecks-Helligkeit t^*



%Umfang

$u^*_{rel} = 149$

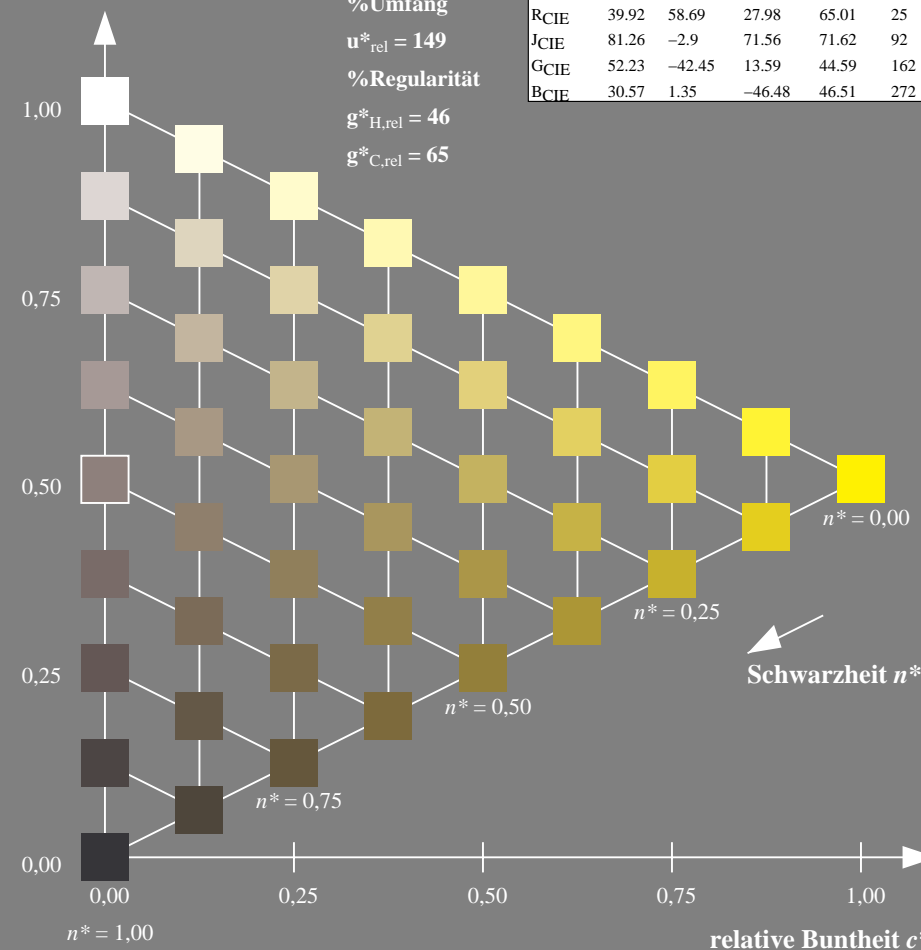
%Regularität

$g^*_{H,rel} = 46$

$g^*_{C,rel} = 65$

NCS11; adaptierte CIELAB-Daten

	$L^* = L^*_a$	a^*_a	b^*_a	$C^*_{ab,a}$	$h^*_{ab,a}$
RMa	47.15	84.64	37.25	92.48	24
JMa	91.37	-1.27	125.03	125.03	91
GMa	63.07	-114.28	25.35	117.06	167
G50B _{Ma}	59.47	-80.6	-33.45	87.28	203
B _{Ma}	49.01	3.65	-81.19	81.28	273
B50R _{Ma}	44.06	106.09	-73.93	129.32	325
N _{Ma}	10.99	0.0	0.0	0.0	0
W _{Ma}	95.41	0.0	0.0	0.0	0
RCIE	39.92	58.69	27.98	65.01	25
JCIE	81.26	-2.9	71.56	71.62	92
GCIE	52.23	-42.45	13.59	44.59	162
BCIE	30.57	1.35	-46.48	46.51	272



UG790-7, 9stufige Reihen für konstanten CIELAB Buntton $91/360 = 0.252$ (links)

BAM-Prüfvorlage UG79; Farbmétrik-Systeme NCS11a & NCS11aput: $cmy0^* setcmykcolor$
D65: 9 und 16stufige Farbreihen für 10 Bunttöne

Ausgabe: Farbmétrisches Reflexions-System NCS11

für Buntton $h^* = lab^*h = 91/360 = 0.252$

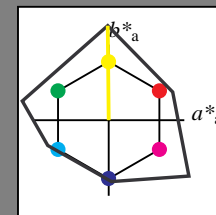
lab^*tch und lab^*nch

D65: Buntton J

LCH*Ma: 91 125 91

rgb*Ma: 1.0 1.0 0.0

Dreiecks-Helligkeit t^*



%Umfang

$u^*_{rel} = 149$

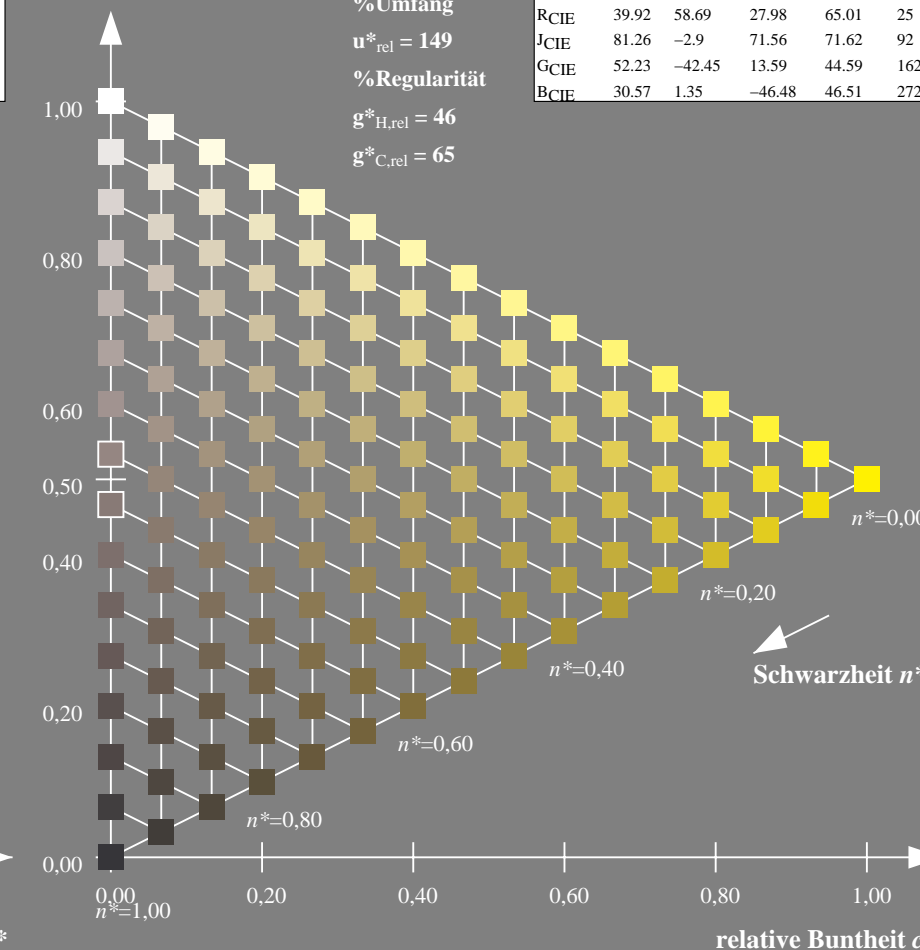
%Regularität

$g^*_{H,rel} = 46$

$g^*_{C,rel} = 65$

NCS11; adaptierte CIELAB-Daten

	$L^* = L^*_a$	a^*_a	b^*_a	$C^*_{ab,a}$	$h^*_{ab,a}$
RMa	47.15	84.64	37.25	92.48	24
JMa	91.37	-1.27	125.03	125.03	91
GMa	63.07	-114.28	25.35	117.06	167
G50B _{Ma}	59.47	-80.6	-33.45	87.28	203
B _{Ma}	49.01	3.65	-81.19	81.28	273
B50R _{Ma}	44.06	106.09	-73.93	129.32	325
N _{Ma}	10.99	0.0	0.0	0.0	0
W _{Ma}	95.41	0.0	0.0	0.0	0
RCIE	39.92	58.69	27.98	65.01	25
JCIE	81.26	-2.9	71.56	71.62	92
GCIE	52.23	-42.45	13.59	44.59	162
BCIE	30.57	1.35	-46.48	46.51	272



16stufige Reihen für konstanten CIELAB Buntton $91/360 = 0.252$ (rechts)

BAM-Prüfvorlage UG79; Farbmétrik-Systeme NCS11a & NCS11aput: $cmy0^* setcmykcolor$
D65: 9 und 16stufige Farbreihen für 10 Bunttöne
output: no change compared to input

Eingabe: Farbmétrisches Reflexions-System NCS11

für Buntton $h^* = lab^*h = 167/360 = 0.465$

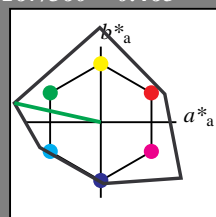
lab^*tch und lab^*nch

D65: Buntton G

LCH*Ma: 63 117 167

rgb*Ma: 0.0 1.0 0.0

Dreiecks-Helligkeit t^*



%Umfang

$u^*_{rel} = 149$

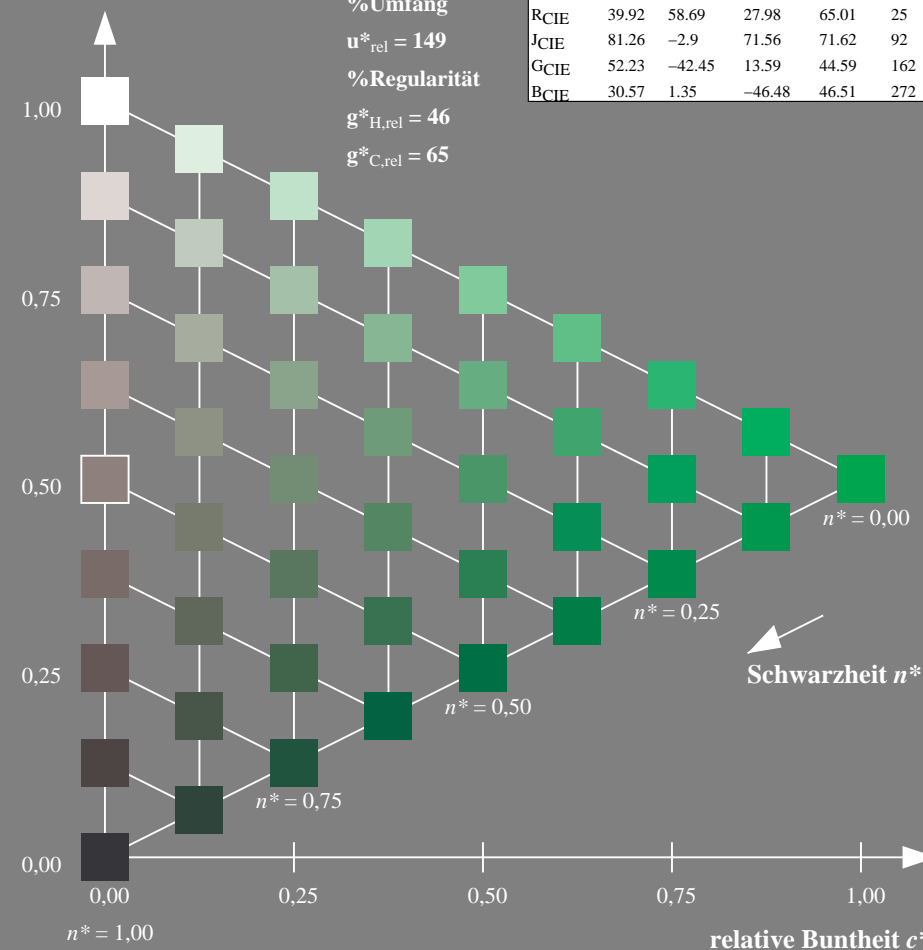
%Regularität

$g^*_{H,rel} = 46$

$g^*_{C,rel} = 65$

NCS11; adaptierte CIELAB-Daten

	$L^* = L^*_a$	a^*_a	b^*_a	$C^*_{ab,a}$	$h^*_{ab,a}$
RMa	47.15	84.64	37.25	92.48	24
JMa	91.37	-1.27	125.03	125.03	91
GMa	63.07	-114.28	25.35	117.06	167
G50B _{Ma}	59.47	-80.6	-33.45	87.28	203
B _{Ma}	49.01	3.65	-81.19	81.28	273
B50R _{Ma}	44.06	106.09	-73.93	129.32	325
N _{Ma}	10.99	0.0	0.0	0.0	0
W _{Ma}	95.41	0.0	0.0	0.0	0
RCIE	39.92	58.69	27.98	65.01	25
JCIE	81.26	-2.9	71.56	71.62	92
GCIE	52.23	-42.45	13.59	44.59	162
BCIE	30.57	1.35	-46.48	46.51	272



UG790-7, 9stufige Reihen für konstanten CIELAB Buntton 167/360 = 0.465 (links)

BAM-Prüfvorlage UG79; Farbmétrik-Systeme NCS11a & NCS11aput: cmy0* setcmykcolor
D65: 9 und 16stufige Farbreihen für 10 Bunttöne

Ausgabe: Farbmétrisches Reflexions-System NCS11

für Buntton $h^* = lab^*h = 167/360 = 0.465$

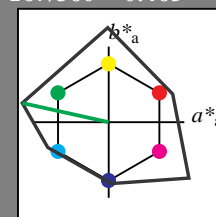
lab^*tch und lab^*nch

D65: Buntton G

LCH*Ma: 63 117 167

rgb*Ma: 0.0 1.0 0.0

Dreiecks-Helligkeit t^*



%Umfang

$u^*_{rel} = 149$

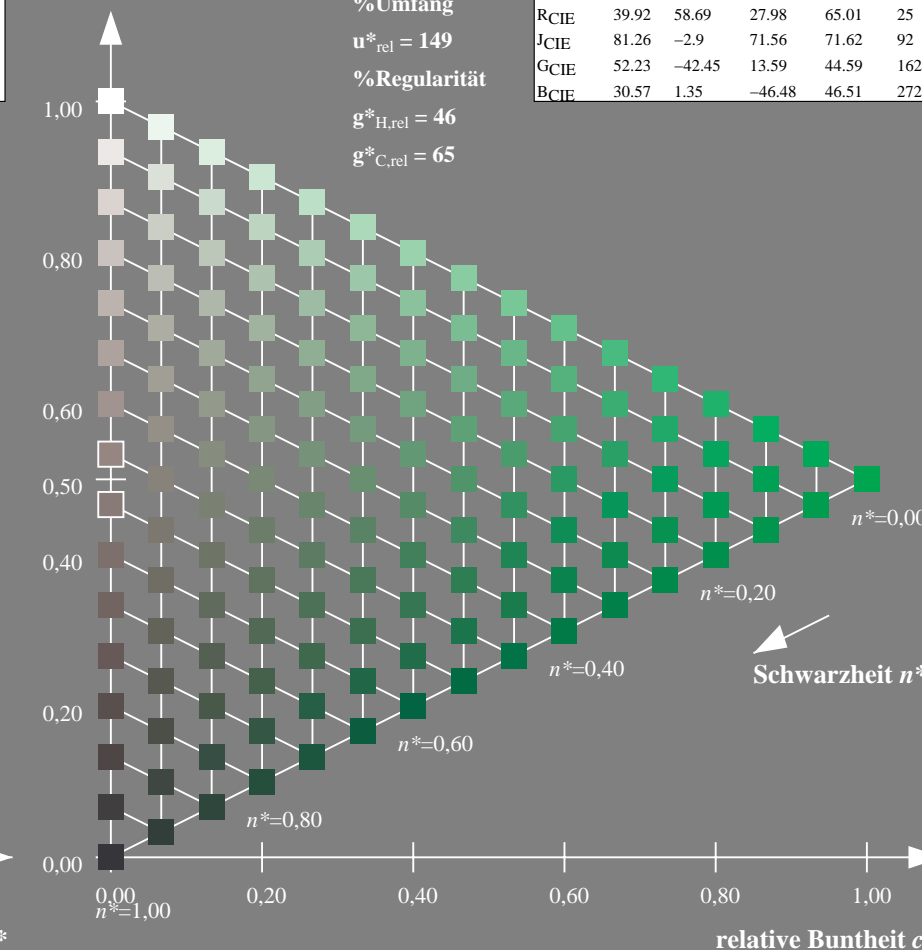
%Regularität

$g^*_{H,rel} = 46$

$g^*_{C,rel} = 65$

NCS11; adaptierte CIELAB-Daten

	$L^* = L^*_a$	a^*_a	b^*_a	$C^*_{ab,a}$	$h^*_{ab,a}$
RMa	47.15	84.64	37.25	92.48	24
JMa	91.37	-1.27	125.03	125.03	91
GMa	63.07	-114.28	25.35	117.06	167
G50B _{Ma}	59.47	-80.6	-33.45	87.28	203
B _{Ma}	49.01	3.65	-81.19	81.28	273
B50R _{Ma}	44.06	106.09	-73.93	129.32	325
N _{Ma}	10.99	0.0	0.0	0.0	0
W _{Ma}	95.41	0.0	0.0	0.0	0
RCIE	39.92	58.69	27.98	65.01	25
JCIE	81.26	-2.9	71.56	71.62	92
GCIE	52.23	-42.45	13.59	44.59	162
BCIE	30.57	1.35	-46.48	46.51	272



16stufige Reihen für konstanten CIELAB Buntton 167/360 = 0.465 (rechts)

BAM-Prüfvorlage UG79; Farbmétrik-Systeme NCS11a & NCS11aput: cmy0* setcmykcolor
D65: 9 und 16stufige Farbreihen für 10 Bunttöne

Eingabe: Farbmétrisches Reflexions-System NCS11

für Buntton $h^* = lab^*h = 203/360 = 0.563$

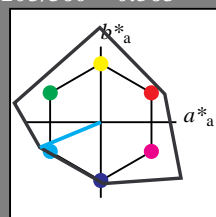
lab^*tch und lab^*nch

D65: Buntton G50B

LCH*Ma: 59 87 203

rgb*Ma: 0.0 1.0 1.0

Dreiecks-Helligkeit t^*



%Umfang

$u^*_{rel} = 149$

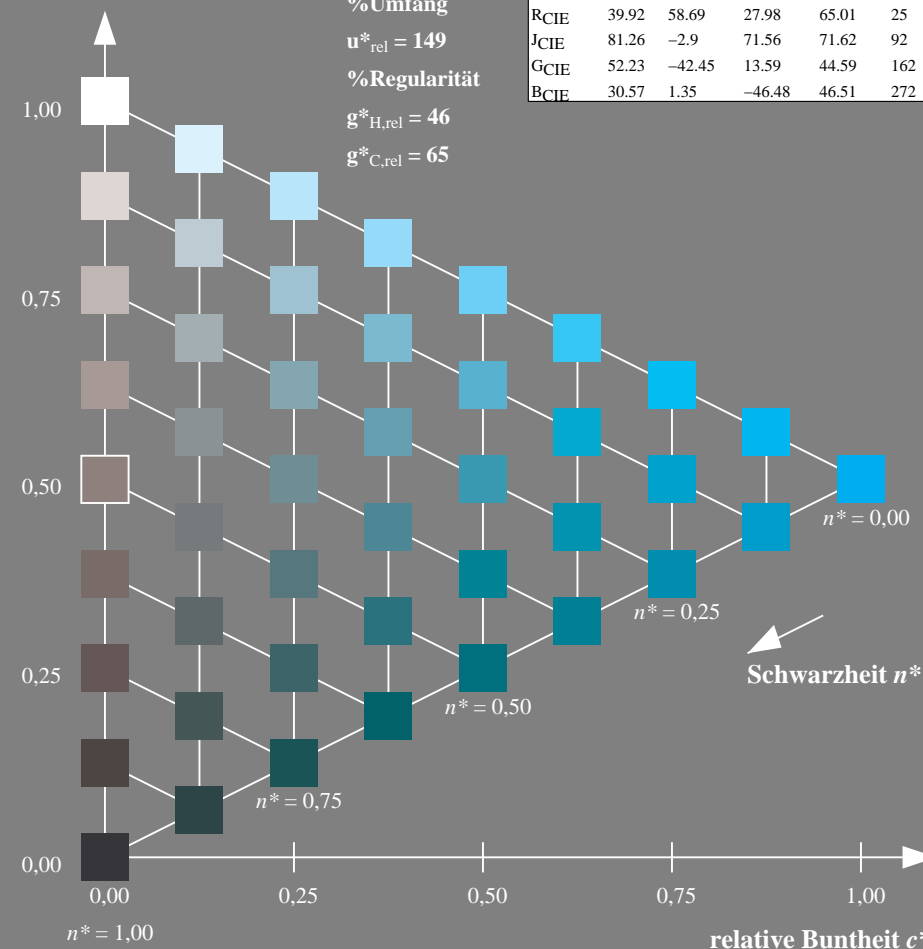
%Regularität

$g^*_{H,rel} = 46$

$g^*_{C,rel} = 65$

NCS11; adaptierte CIELAB-Daten

	$L^* = L^*_a$	a^*_a	b^*_a	$C^*_{ab,a}$	$h^*_{ab,a}$
RMa	47.15	84.64	37.25	92.48	24
JMa	91.37	-1.27	125.03	125.03	91
GMa	63.07	-114.28	25.35	117.06	167
G50B _{Ma}	59.47	-80.6	-33.45	87.28	203
B _{Ma}	49.01	3.65	-81.19	81.28	273
B50R _{Ma}	44.06	106.09	-73.93	129.32	325
N _{Ma}	10.99	0.0	0.0	0.0	0
W _{Ma}	95.41	0.0	0.0	0.0	0
RCIE	39.92	58.69	27.98	65.01	25
JCIE	81.26	-2.9	71.56	71.62	92
GCIE	52.23	-42.45	13.59	44.59	162
BCIE	30.57	1.35	-46.48	46.51	272



UG790-7, 9stufige Reihen für konstanten CIELAB Buntton 203/360 = 0.563 (links)

BAM-Prüfvorlage UG79; Farbmétrik-Systeme NCS11a & NCS11aput: cmy0* setcmykcolor

D65: 9 und 16stufige Farbreihen für 10 Bunttöne

Ausgabe: Farbmétrisches Reflexions-System NCS11

für Buntton $h^* = lab^*h = 203/360 = 0.563$

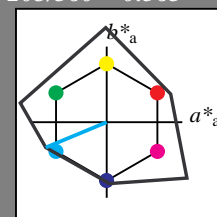
lab^*tch und lab^*nch

D65: Buntton G50B

LCH*Ma: 59 87 203

rgb*Ma: 0.0 1.0 1.0

Dreiecks-Helligkeit t^*



%Umfang

$u^*_{rel} = 149$

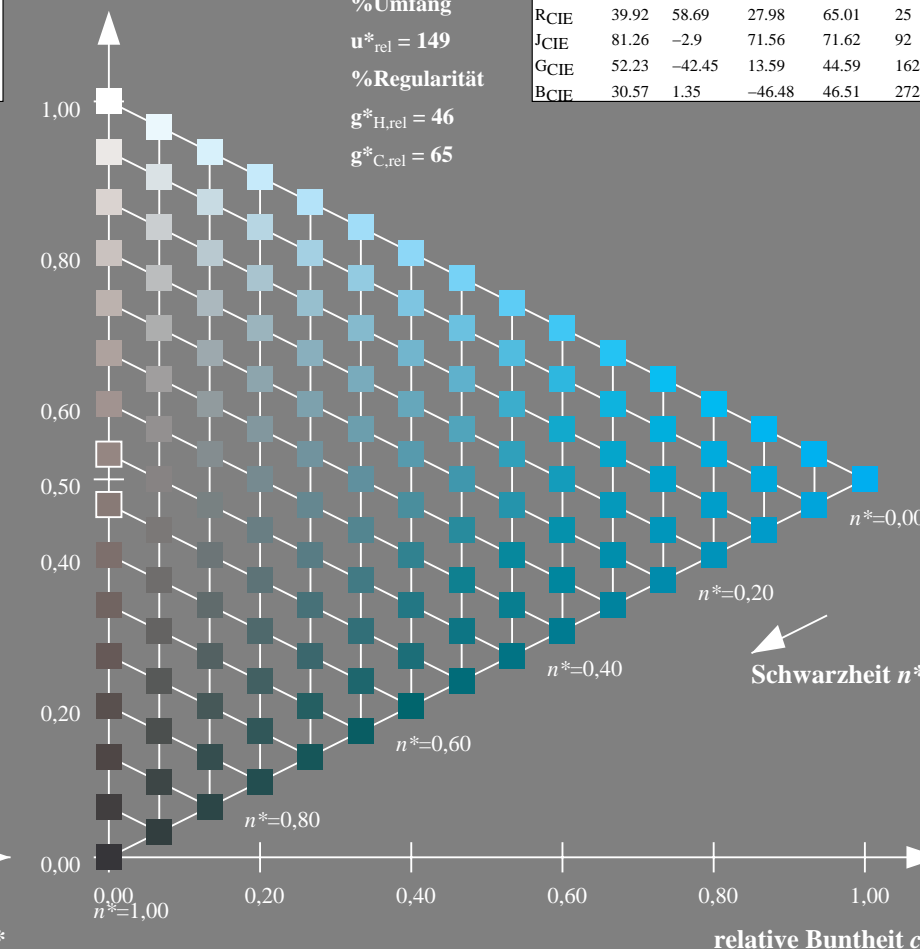
%Regularität

$g^*_{H,rel} = 46$

$g^*_{C,rel} = 65$

NCS11; adaptierte CIELAB-Daten

	$L^* = L^*_a$	a^*_a	b^*_a	$C^*_{ab,a}$	$h^*_{ab,a}$
RMa	47.15	84.64	37.25	92.48	24
JMa	91.37	-1.27	125.03	125.03	91
GMa	63.07	-114.28	25.35	117.06	167
G50B _{Ma}	59.47	-80.6	-33.45	87.28	203
B _{Ma}	49.01	3.65	-81.19	81.28	273
B50R _{Ma}	44.06	106.09	-73.93	129.32	325
N _{Ma}	10.99	0.0	0.0	0.0	0
W _{Ma}	95.41	0.0	0.0	0.0	0
RCIE	39.92	58.69	27.98	65.01	25
JCIE	81.26	-2.9	71.56	71.62	92
GCIE	52.23	-42.45	13.59	44.59	162
BCIE	30.57	1.35	-46.48	46.51	272



16stufige Reihen für konstanten CIELAB Buntton 203/360 = 0.563 (rechts)

output: no change compared to input

Eingabe: Farbmimetrisches Reflexions-System NCS11

für Buntton $h^* = lab^*h = 273/360 = 0,757$

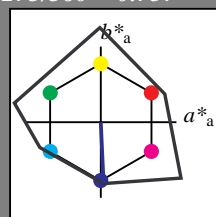
lab^*tch und lab^*nch

D65: Buntton B

LCH*Ma: 49 81 273

rgb*Ma: 0.0 0.0 1.0

Dreiecks-Helligkeit t^*



%Umfang

$u^*_{rel} = 149$

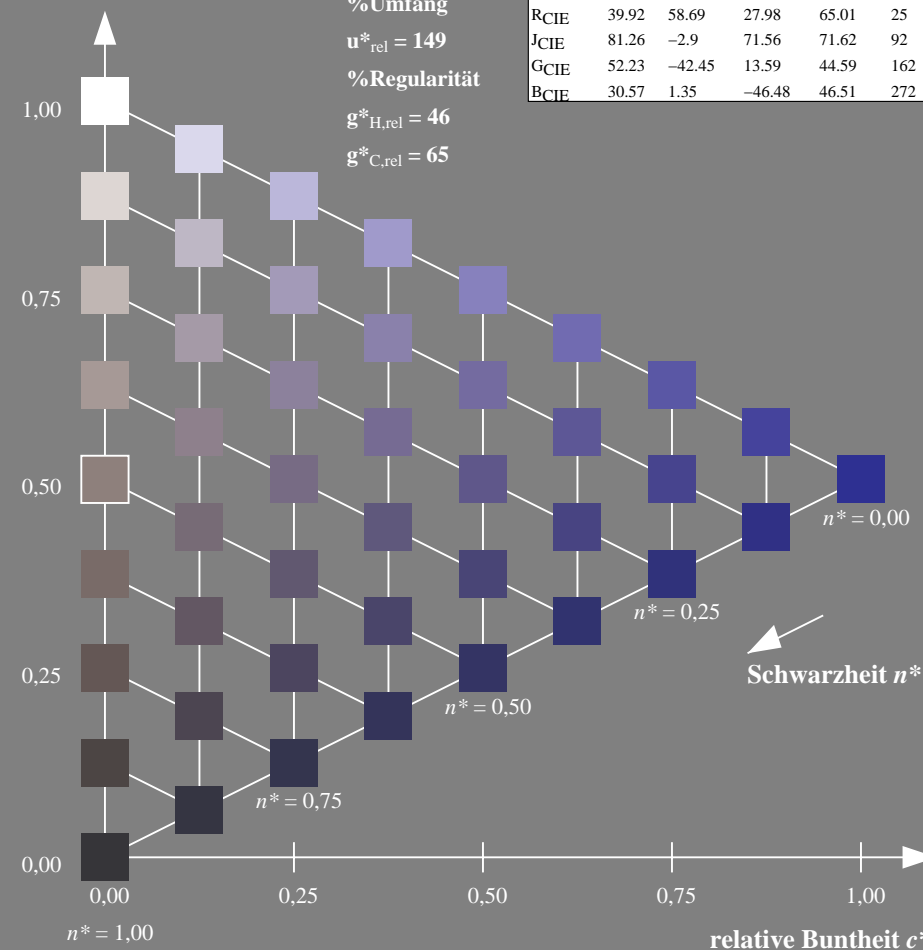
%Regularität

$g^*_{H,rel} = 46$

$g^*_{C,rel} = 65$

NCS11; adaptierte CIELAB-Daten

	$L^* = L^*_a$	a^*_a	b^*_a	$C^*_{ab,a}$	$h^*_{ab,a}$
RMa	47.15	84.64	37.25	92.48	24
JMa	91.37	-1.27	125.03	125.03	91
GMa	63.07	-114.28	25.35	117.06	167
G50B _{Ma}	59.47	-80.6	-33.45	87.28	203
B _{Ma}	49.01	3.65	-81.19	81.28	273
B50R _{Ma}	44.06	106.09	-73.93	129.32	325
N _{Ma}	10.99	0.0	0.0	0.0	0
W _{Ma}	95.41	0.0	0.0	0.0	0
RCIE	39.92	58.69	27.98	65.01	25
JCIE	81.26	-2.9	71.56	71.62	92
GCIE	52.23	-42.45	13.59	44.59	162
BCIE	30.57	1.35	-46.48	46.51	272



UG790-7, 9stufige Reihen für konstanten CIELAB Buntton 273/360 = 0.757 (links)

BAM-Prüfvorlage UG79; Farbmimetrik-Systeme NCS11a & NCS11aput: *cmY0* setcmykcolor*
D65: 9 und 16stufige Farbreihen für 10 Bunttöne

Ausgabe: Farbmimetrisches Reflexions-System NCS11

für Buntton $h^* = lab^*h = 273/360 = 0,757$

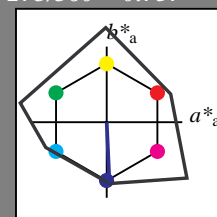
lab^*tch und lab^*nch

D65: Buntton B

LCH*Ma: 49 81 273

rgb*Ma: 0.0 0.0 1.0

Dreiecks-Helligkeit t^*



%Umfang

$u^*_{rel} = 149$

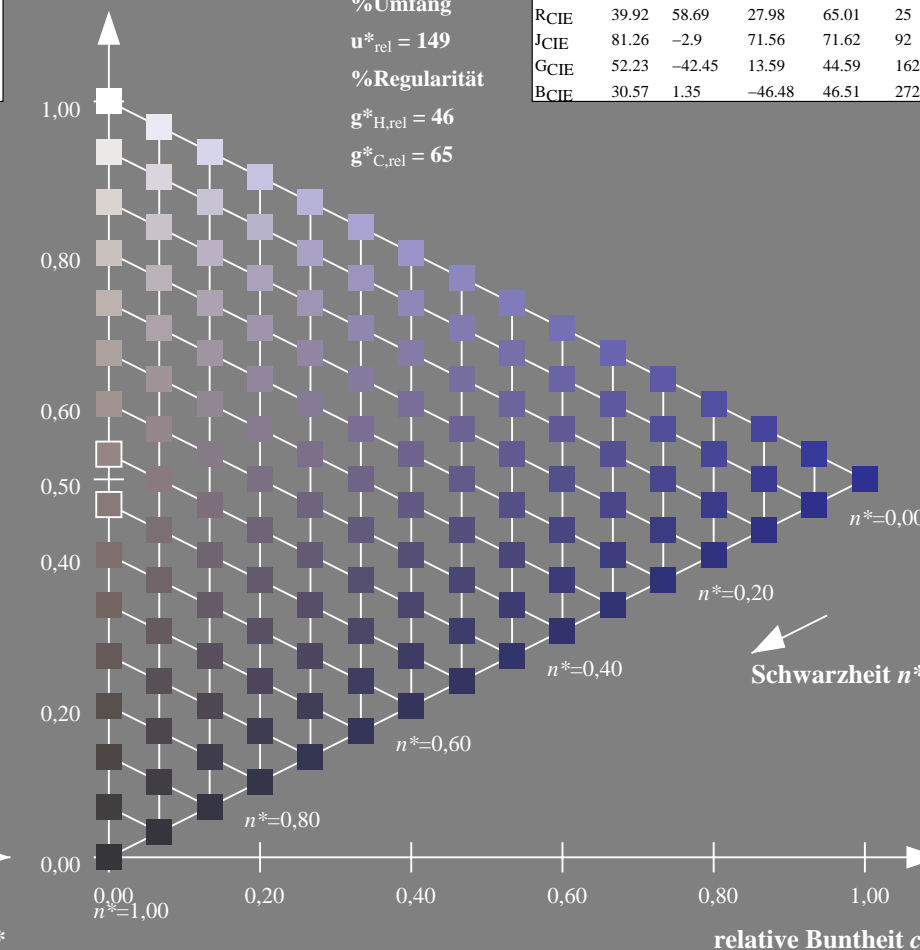
%Regularität

$g^*_{H,rel} = 46$

$g^*_{C,rel} = 65$

NCS11; adaptierte CIELAB-Daten

	$L^* = L^*_a$	a^*_a	b^*_a	$C^*_{ab,a}$	$h^*_{ab,a}$
RMa	47.15	84.64	37.25	92.48	24
JMa	91.37	-1.27	125.03	125.03	91
GMa	63.07	-114.28	25.35	117.06	167
G50B _{Ma}	59.47	-80.6	-33.45	87.28	203
B _{Ma}	49.01	3.65	-81.19	81.28	273
B50R _{Ma}	44.06	106.09	-73.93	129.32	325
N _{Ma}	10.99	0.0	0.0	0.0	0
W _{Ma}	95.41	0.0	0.0	0.0	0
RCIE	39.92	58.69	27.98	65.01	25
JCIE	81.26	-2.9	71.56	71.62	92
GCIE	52.23	-42.45	13.59	44.59	162
BCIE	30.57	1.35	-46.48	46.51	272



16stufige Reihen für konstanten CIELAB Buntton 273/360 = 0.757 (rechts)

input: *cmY0* setcmykcolor*
output: *no change compared to input*

Eingabe: Farbmétrisches Reflexions-System NCS11

für Buntton $h^* = lab^*h = 325/360 = 0.903$

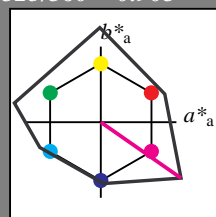
lab^*tch und lab^*nch

D65: Buntton B50R

LCH*Ma: 44 129 325

rgb*Ma: 1.0 0.0 1.0

Dreiecks-Helligkeit t^*



%Umfang

$u^*_{rel} = 149$

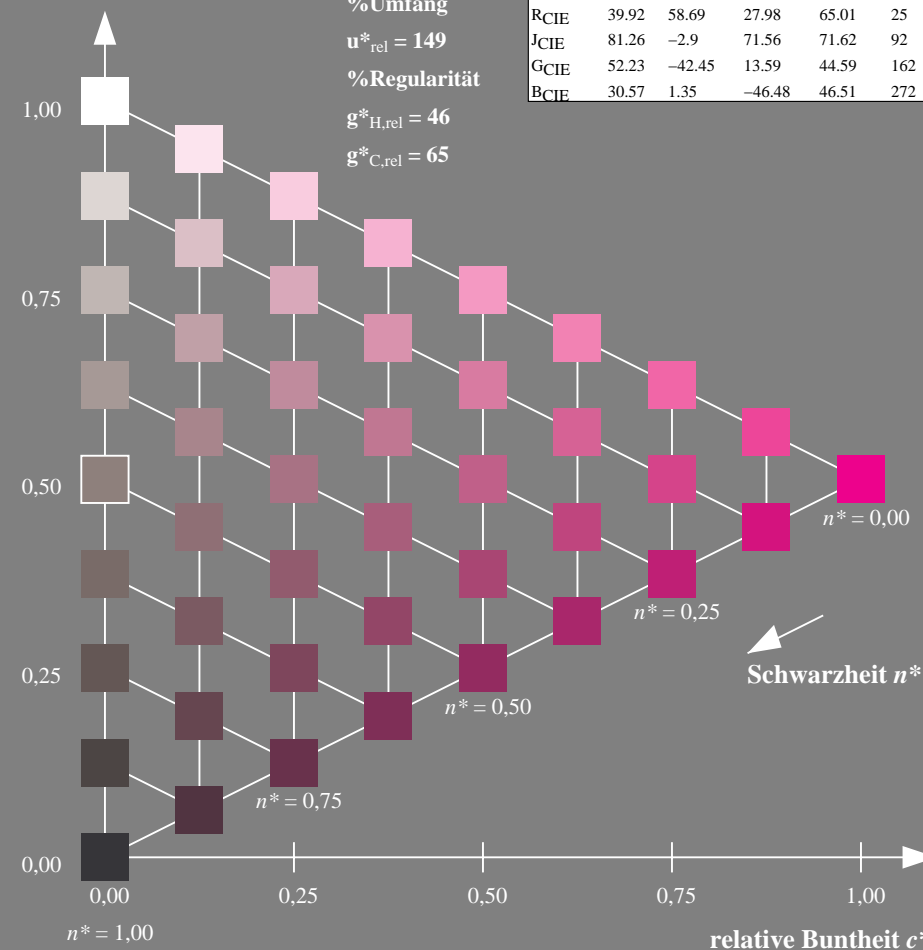
%Regularität

$g^*_{H,rel} = 46$

$g^*_{C,rel} = 65$

NCS11; adaptierte CIELAB-Daten

	$L^* = L^*_a$	a^*_a	b^*_a	$C^*_{ab,a}$	$h^*_{ab,a}$
RMa	47.15	84.64	37.25	92.48	24
JMa	91.37	-1.27	125.03	125.03	91
GMa	63.07	-114.28	25.35	117.06	167
G50B _{Ma}	59.47	-80.6	-33.45	87.28	203
B _{Ma}	49.01	3.65	-81.19	81.28	273
B50R _{Ma}	44.06	106.09	-73.93	129.32	325
N _{Ma}	10.99	0.0	0.0	0.0	0
W _{Ma}	95.41	0.0	0.0	0.0	0
RCIE	39.92	58.69	27.98	65.01	25
JCIE	81.26	-2.9	71.56	71.62	92
GCIE	52.23	-42.45	13.59	44.59	162
BCIE	30.57	1.35	-46.48	46.51	272



UG790-7, 9stufige Reihen für konstanten CIELAB Buntton 325/360 = 0.903 (links)

BAM-Prüfvorlage UG79; Farbmétrik-Systeme NCS11a & NCS11aput: $cm\dot{y}0^* setcmykcolor$

D65: 9 und 16stufige Farbreihen für 10 Bunttöne

Ausgabe: Farbmétrisches Reflexions-System NCS11

für Buntton $h^* = lab^*h = 325/360 = 0.903$

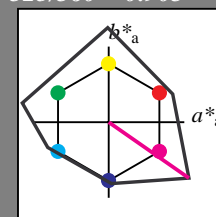
lab^*tch und lab^*nch

D65: Buntton B50R

LCH*Ma: 44 129 325

rgb*Ma: 1.0 0.0 1.0

Dreiecks-Helligkeit t^*



%Umfang

$u^*_{rel} = 149$

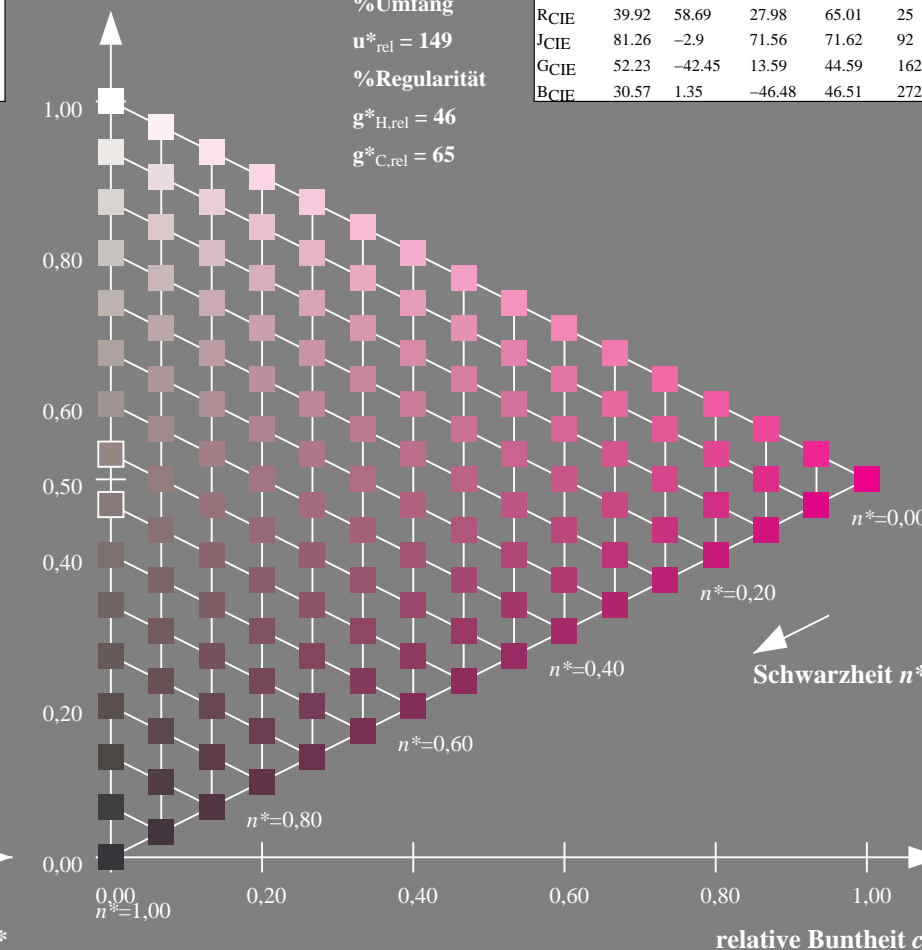
%Regularität

$g^*_{H,rel} = 46$

$g^*_{C,rel} = 65$

NCS11; adaptierte CIELAB-Daten

	$L^* = L^*_a$	a^*_a	b^*_a	$C^*_{ab,a}$	$h^*_{ab,a}$
RMa	47.15	84.64	37.25	92.48	24
JMa	91.37	-1.27	125.03	125.03	91
GMa	63.07	-114.28	25.35	117.06	167
G50B _{Ma}	59.47	-80.6	-33.45	87.28	203
B _{Ma}	49.01	3.65	-81.19	81.28	273
B50R _{Ma}	44.06	106.09	-73.93	129.32	325
N _{Ma}	10.99	0.0	0.0	0.0	0
W _{Ma}	95.41	0.0	0.0	0.0	0
RCIE	39.92	58.69	27.98	65.01	25
JCIE	81.26	-2.9	71.56	71.62	92
GCIE	52.23	-42.45	13.59	44.59	162
BCIE	30.57	1.35	-46.48	46.51	272



16stufige Reihen für konstanten CIELAB Buntton 325/360 = 0.903 (rechts)

input: $cm\dot{y}0^* setcmykcolor$
output: no change compared to input

Eingabe: Farbmimetrisches Reflexions-System NCS11

für Buntton $h^* = lab^*h = 25/360 = 0.071$

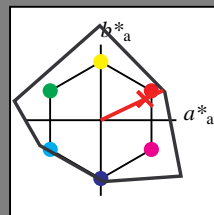
lab^*tch und lab^*nch

D65: Buntton R

LCH*Ma: 48 91 25

rgb*Ma: 1.0 0.02 0.0

Dreiecks-Helligkeit t^*



NCS11; adaptierte CIELAB-Daten

	$L^* = L^*_a$	a^*_a	b^*_a	$C^*_{ab,a}$	$h^*_{ab,a}$
RMa	47.15	84.64	37.25	92.48	24
JMa	91.37	-1.27	125.03	125.03	91
GMa	63.07	-114.28	25.35	117.06	167
G50BMa	59.47	-80.6	-33.45	87.28	203
BMa	49.01	3.65	-81.19	81.28	273
B50RMa	44.06	106.09	-73.93	129.32	325
NMa	10.99	0.0	0.0	0.0	0
WMa	95.41	0.0	0.0	0.0	0
RCIE	39.92	58.69	27.98	65.01	25
JCIE	81.26	-2.9	71.56	71.62	92
GCIE	52.23	-42.45	13.59	44.59	162
BCIE	30.57	1.35	-46.48	46.51	272

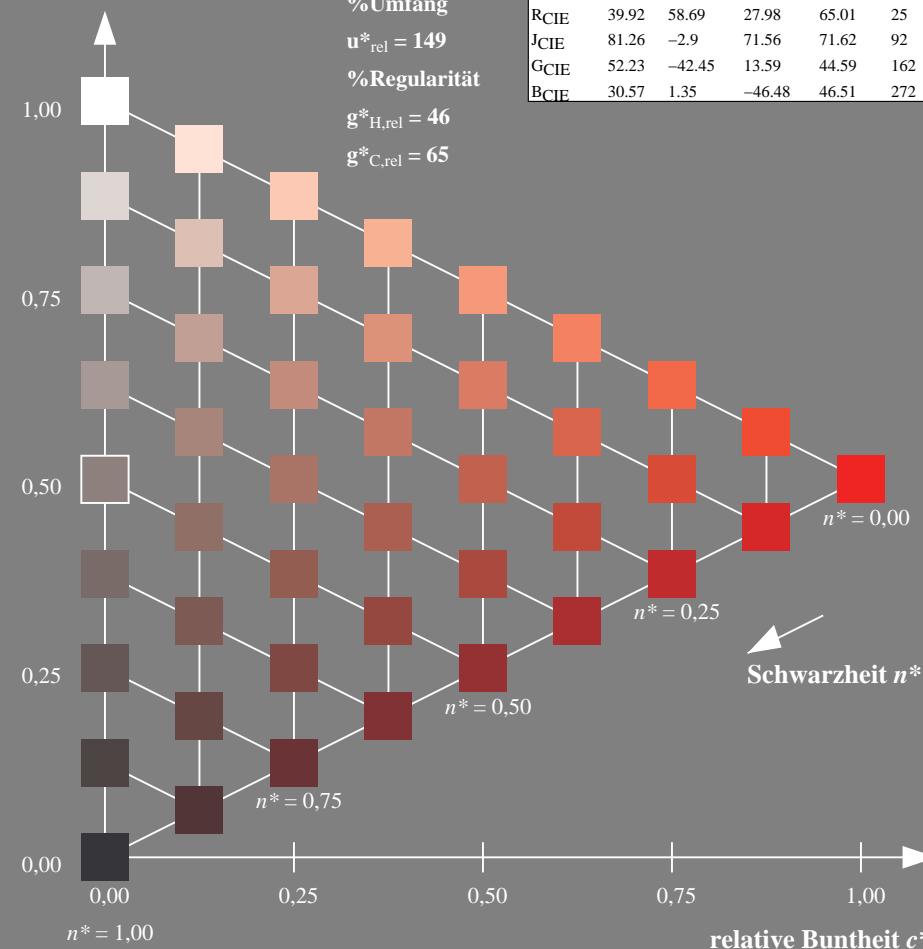
%Umfang

$u^*_{rel} = 149$

%Regularität

$g^*_{H,rel} = 46$

$g^*_{C,rel} = 65$



Ausgabe: Farbmimetrisches Reflexions-System NCS11

für Buntton $h^* = lab^*h = 25/360 = 0.071$

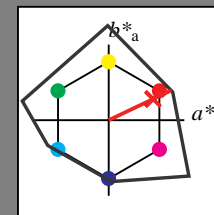
lab^*tch und lab^*nch

D65: Buntton R

LCH*Ma: 48 91 25

rgb*Ma: 1.0 0.02 0.0

Dreiecks-Helligkeit t^*



NCS11; adaptierte CIELAB-Daten

	$L^* = L^*_a$	a^*_a	b^*_a	$C^*_{ab,a}$	$h^*_{ab,a}$
RMa	47.15	84.64	37.25	92.48	24
JMa	91.37	-1.27	125.03	125.03	91
GMa	63.07	-114.28	25.35	117.06	167
G50BMa	59.47	-80.6	-33.45	87.28	203
BMa	49.01	3.65	-81.19	81.28	273
B50RMa	44.06	106.09	-73.93	129.32	325
NMa	10.99	0.0	0.0	0.0	0
WMa	95.41	0.0	0.0	0.0	0
RCIE	39.92	58.69	27.98	65.01	25
JCIE	81.26	-2.9	71.56	71.62	92
GCIE	52.23	-42.45	13.59	44.59	162
BCIE	30.57	1.35	-46.48	46.51	272

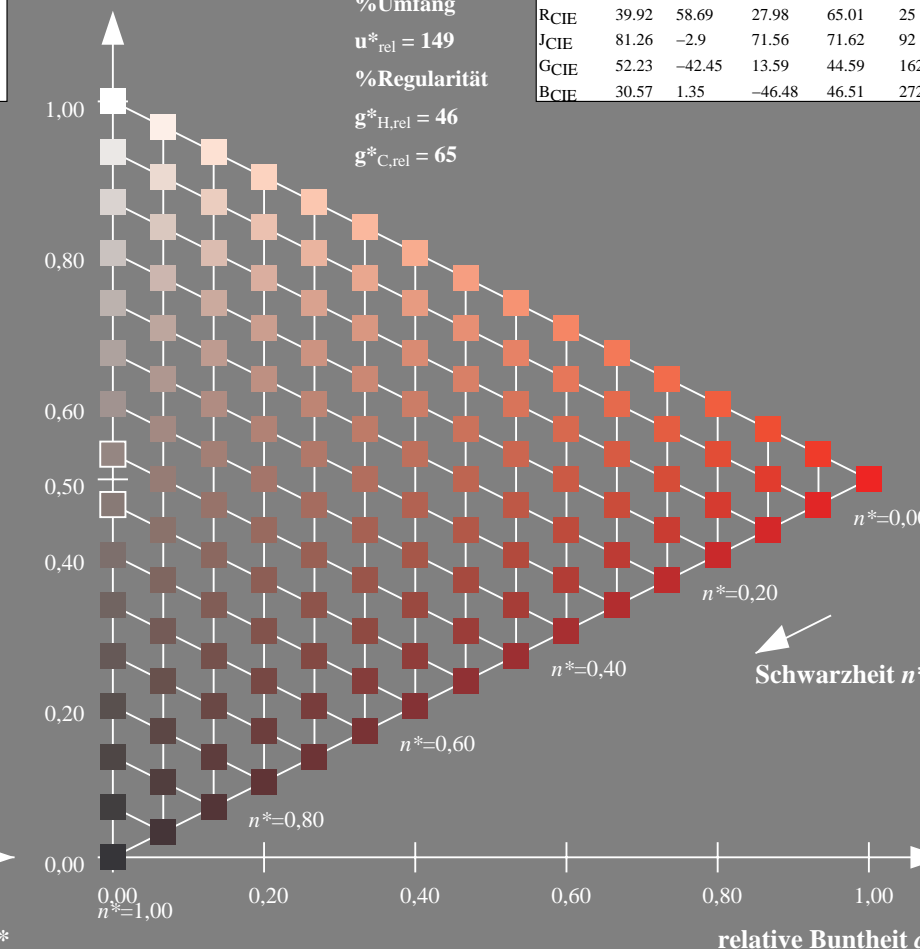
%Umfang

$u^*_{rel} = 149$

%Regularität

$g^*_{H,rel} = 46$

$g^*_{C,rel} = 65$



UG790-7, 9stufige Reihen für konstanten CIELAB Buntton 25/360 = 0.071 (links)

16stufige Reihen für konstanten CIELAB Buntton 25/360 = 0.071 (rechts)

BAM-Prüfvorlage UG79; Farbmimetrik-Systeme NCS11a & NCS11aput: $cmy0^* setcmykcolor$

D65: 9 und 16stufige Farbreihen für 10 Bunttöne

output: no change compared to input

Eingabe: Farbmétrisches Reflexions-System NCS11

für Buntton $h^* = lab^*h = 92/360 = 0.256$

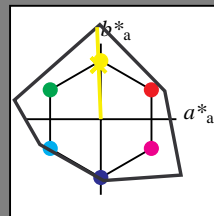
*lab*tch* und *lab*nch*

D65: Buntton J

LCH*Ma: 90 122 92

rgb*Ma: 0.97 1.0 0.0

Dreiecks-Helligkeit t^*

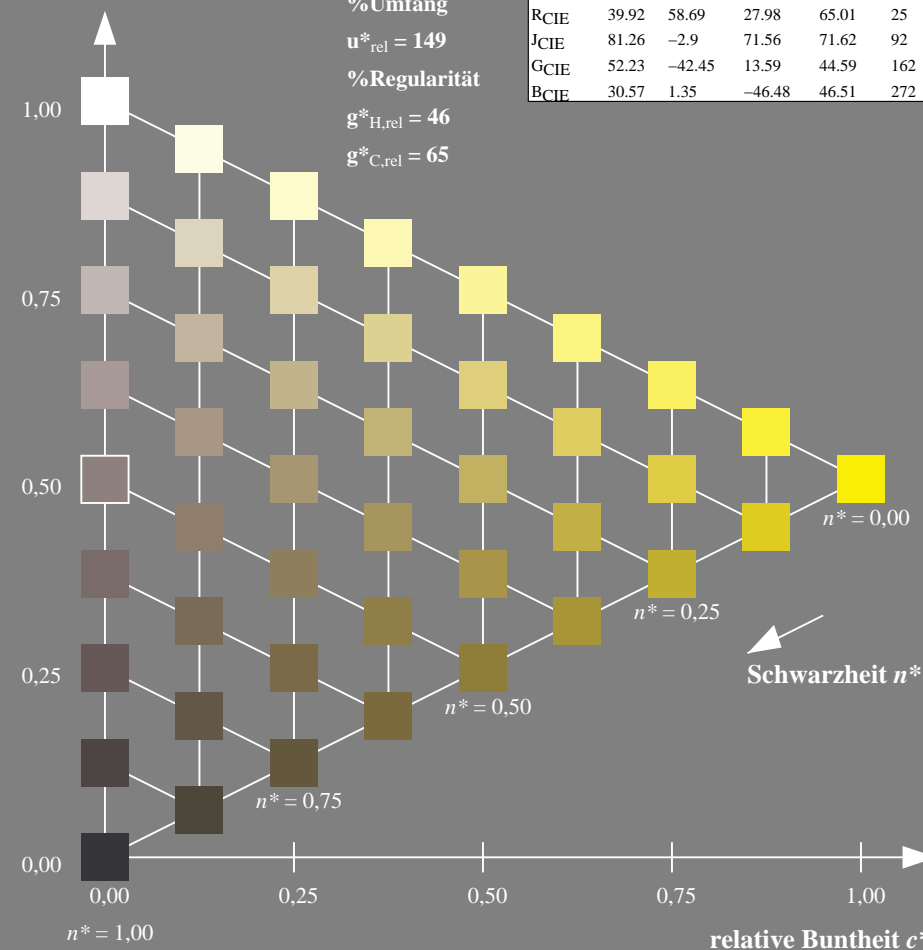


NCS11; adaptierte CIELAB-Daten					
	L^*_a	a^*_a	b^*_a	$C^*_{ab,a}$	$h^*_{ab,a}$
R _{Ma}	47.15	84.64	37.25	92.48	24
J _{Ma}	91.37	-1.27	125.03	125.03	91
G _{Ma}	63.07	-114.28	25.35	117.06	167
G50B _{Ma}	59.47	-80.6	-33.45	87.28	203
B _{Ma}	49.01	3.65	-81.19	81.28	273
B50R _{Ma}	44.06	106.09	-73.93	129.32	325
N _{Ma}	10.99	0.0	0.0	0.0	0
W _{Ma}	95.41	0.0	0.0	0.0	0
R _{CIE}	39.92	58.69	27.98	65.01	25
J _{CIE}	81.26	-2.9	71.56	71.62	92
G _{CIE}	52.23	-42.45	13.59	44.59	162
B _{CIE}	30.57	1.35	-46.48	46.51	272

%Umfang

$$\mathbf{u}_{\text{rel}}^* = 149$$

%Regularität

$$g^*_{H,rel} = 46$$
$$g^*_{C,rel} = 65$$


UG790-7, 9stufige Reihen für konstanten CIELAB Buntton $92/360 = 0.256$ (links)

BAM-Prüfvorlage UG79; Farbmimetrik-Systeme N
D65: 9 und 16stufige Farbreihen für 10 Bunttöne

Ausgabe: Farbmétrisches Reflexions-System NCS11

für Buntton $h^* = lab^*h = 92/360 = 0.256$

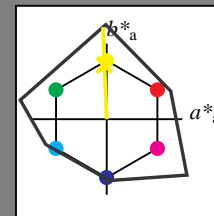
*lab*tch* und *lab*nch*

D65: Buntton J

LCH*Ma: 90 122 92

rgb*Ma: 0.97 1.0 0.0

Dreiecks-Helligkeit t^*

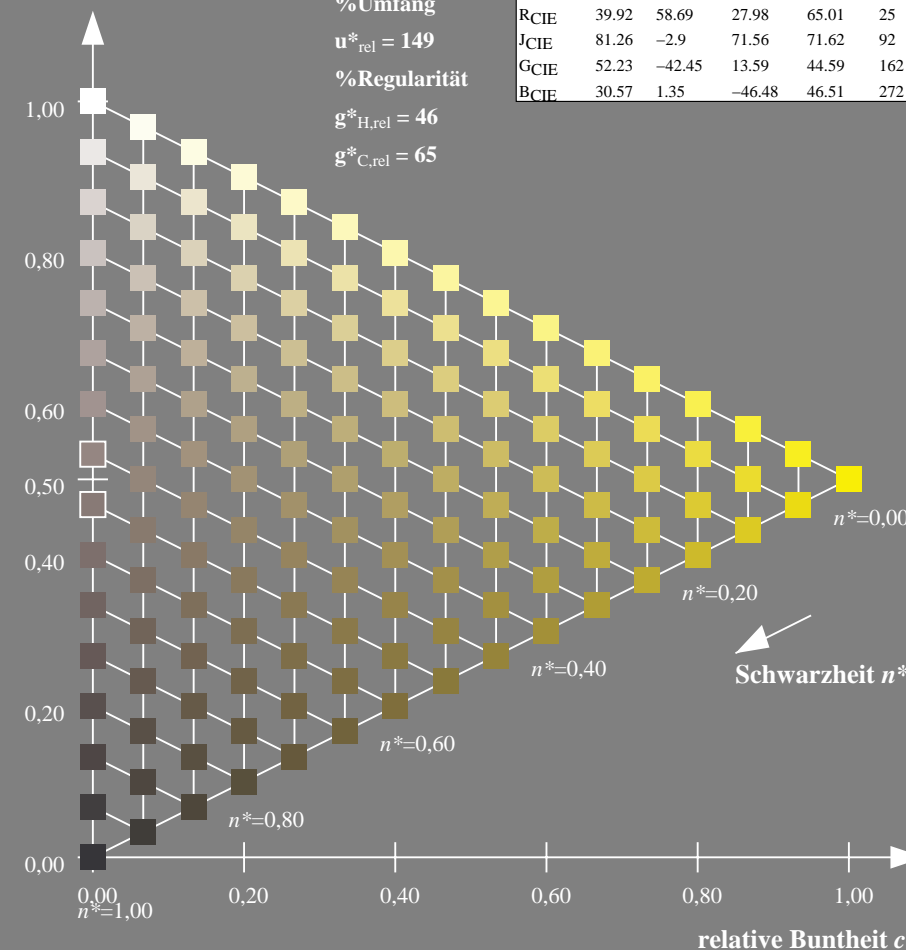


NCS11; adaptierte CIELAB-Daten					
	L^*_{a}	a^*_{a}	b^*_{a}	$C^*_{\text{ab,a}}$	h^*_{ab}
R _{Ma}	47.15	84.64	37.25	92.48	24
J _{Ma}	91.37	-1.27	125.03	125.03	91
G _{Ma}	63.07	-114.28	25.35	117.06	167
G50B _{Ma}	59.47	-80.6	-33.45	87.28	203
B _{Ma}	49.01	3.65	-81.19	81.28	273
B50R _{Ma}	44.06	106.09	-73.93	129.32	325
N _{Ma}	10.99	0.0	0.0	0.0	0
W _{Ma}	95.41	0.0	0.0	0.0	0
R _{CIE}	39.92	58.69	27.98	65.01	25
J _{CIE}	81.26	-2.9	71.56	71.62	92
G _{CIE}	52.23	-42.45	13.59	44.92	162
B _{CIE}	30.57	1.35	-46.48	46.51	272

%Umfang

$$\mathbf{u}_{\text{rel}}^* = 149$$

%Regularität

$$g^*_{H,rel} = 46$$
$$g^*_{C,rel} = 65$$
16stufige Reihen für konstanten CIELAB Buntton $92/360 = 0.256$ (rechts)

1 **input:** *cmy0* setcmykcolor*
 output: *no change compared to input*

Eingabe: Farbmimetrisches Reflexions-System NCS11

für Buntton $h^* = lab^*h = 162/360 = 0.451$

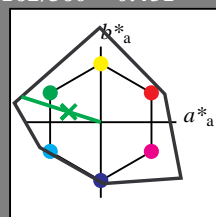
lab^*tch und lab^*nch

D65: Buntton G

LCH*Ma: 65 110 162

rgb*Ma: 0.08 1.0 0.0

Dreiecks-Helligkeit t^*



NCS11; adaptierte CIELAB-Daten

	$L^* = L^*_a$	a^*_a	b^*_a	$C^*_{ab,a}$	$h^*_{ab,a}$
RMa	47.15	84.64	37.25	92.48	24
JMa	91.37	-1.27	125.03	125.03	91
GMa	63.07	-114.28	25.35	117.06	167
G50B _{Ma}	59.47	-80.6	-33.45	87.28	203
B _{Ma}	49.01	3.65	-81.19	81.28	273
B50R _{Ma}	44.06	106.09	-73.93	129.32	325
N _{Ma}	10.99	0.0	0.0	0.0	0
W _{Ma}	95.41	0.0	0.0	0.0	0
RCIE	39.92	58.69	27.98	65.01	25
JCIE	81.26	-2.9	71.56	71.62	92
GCIE	52.23	-42.45	13.59	44.59	162
BCIE	30.57	1.35	-46.48	46.51	272

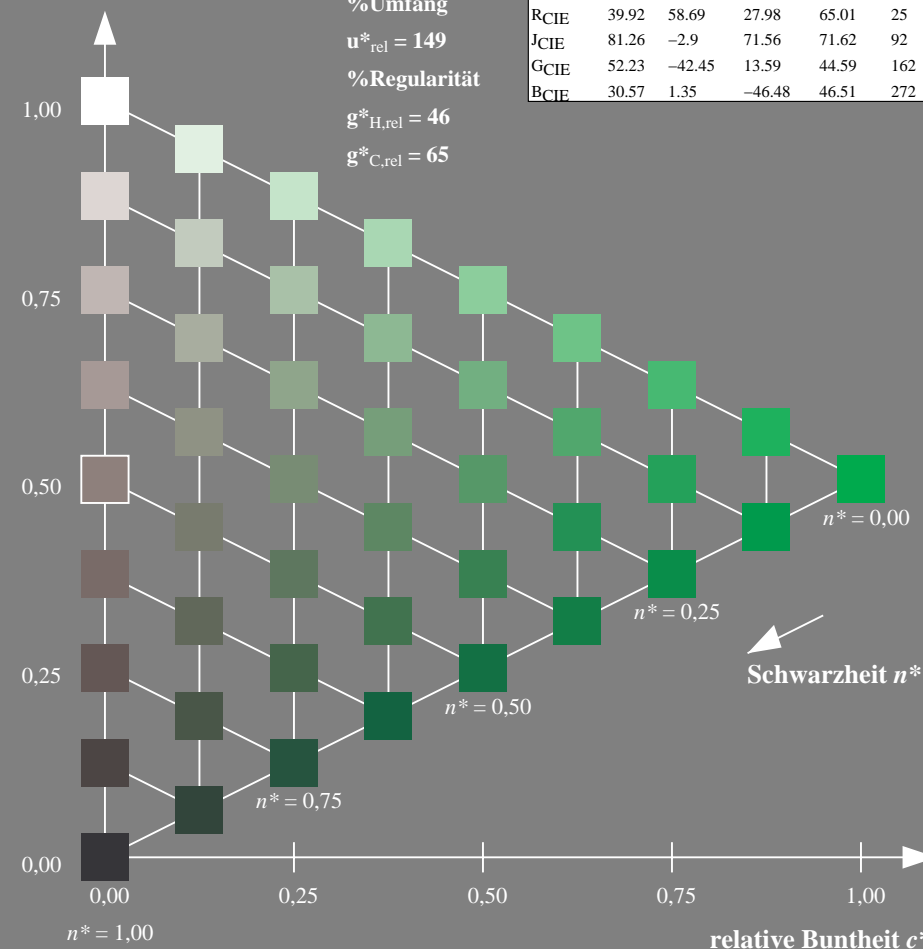
%Umfang

$u^*_{rel} = 149$

%Regularität

$g^*_{H,rel} = 46$

$g^*_{C,rel} = 65$



UG790-7, 9stufige Reihen für konstanten CIELAB Buntton $162/360 = 0.451$ (links)

BAM-Prüfvorlage UG79; Farbmimetrik-Systeme NCS11a & NCS11aput: $cmy0^* setcmykcolor$

D65: 9 und 16stufige Farbreihen für 10 Bunttöne

Ausgabe: Farbmimetrisches Reflexions-System NCS11

für Buntton $h^* = lab^*h = 162/360 = 0.451$

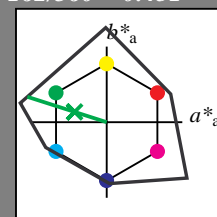
lab^*tch und lab^*nch

D65: Buntton G

LCH*Ma: 65 110 162

rgb*Ma: 0.08 1.0 0.0

Dreiecks-Helligkeit t^*



NCS11; adaptierte CIELAB-Daten

	$L^* = L^*_a$	a^*_a	b^*_a	$C^*_{ab,a}$	$h^*_{ab,a}$
RMa	47.15	84.64	37.25	92.48	24
JMa	91.37	-1.27	125.03	125.03	91
GMa	63.07	-114.28	25.35	117.06	167
G50B _{Ma}	59.47	-80.6	-33.45	87.28	203
B _{Ma}	49.01	3.65	-81.19	81.28	273
B50R _{Ma}	44.06	106.09	-73.93	129.32	325
N _{Ma}	10.99	0.0	0.0	0.0	0
W _{Ma}	95.41	0.0	0.0	0.0	0
RCIE	39.92	58.69	27.98	65.01	25
JCIE	81.26	-2.9	71.56	71.62	92
GCIE	52.23	-42.45	13.59	44.59	162
BCIE	30.57	1.35	-46.48	46.51	272

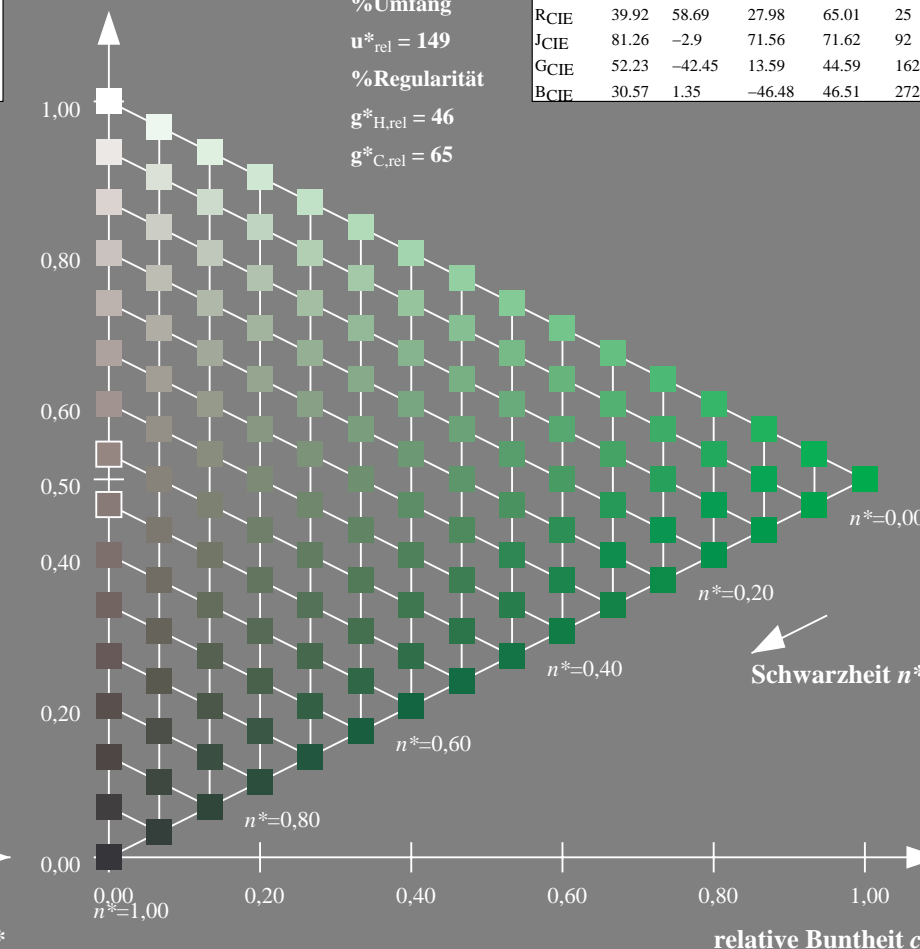
%Umfang

$u^*_{rel} = 149$

%Regularität

$g^*_{H,rel} = 46$

$g^*_{C,rel} = 65$



16stufige Reihen für konstanten CIELAB Buntton $162/360 = 0.451$ (rechts)

output: no change compared to input

Eingabe: Farbmimetrisches Reflexions-System NCS11

für Buntton $h^* = lab^*h = 272/360 = 0,755$

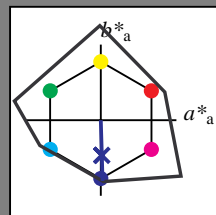
lab^*tch und lab^*nch

D65: Buntton B

LCH*Ma: 49 80 272

rgb*Ma: 0.0 0.02 1.0

Dreiecks-Helligkeit t^*



NCS11; adaptierte CIELAB-Daten					
	$L^*=L_a^*$	a_a^*	b_a^*	$C_{ab,a}^*$	$h_{ab,a}^*$
RMa	47.15	84.64	37.25	92.48	24
JMa	91.37	-1.27	125.03	125.03	91
GMa	63.07	-114.28	25.35	117.06	167
G50B _{Ma}	59.47	-80.6	-33.45	87.28	203
B _{Ma}	49.01	3.65	-81.19	81.28	273
B50R _{Ma}	44.06	106.09	-73.93	129.32	325
N _{Ma}	10.99	0.0	0.0	0.0	0
W _{Ma}	95.41	0.0	0.0	0.0	0
RCIE	39.92	58.69	27.98	65.01	25
JCIE	81.26	-2.9	71.56	71.62	92
GCIE	52.23	-42.45	13.59	44.59	162
BCIE	30.57	1.35	-46.48	46.51	272

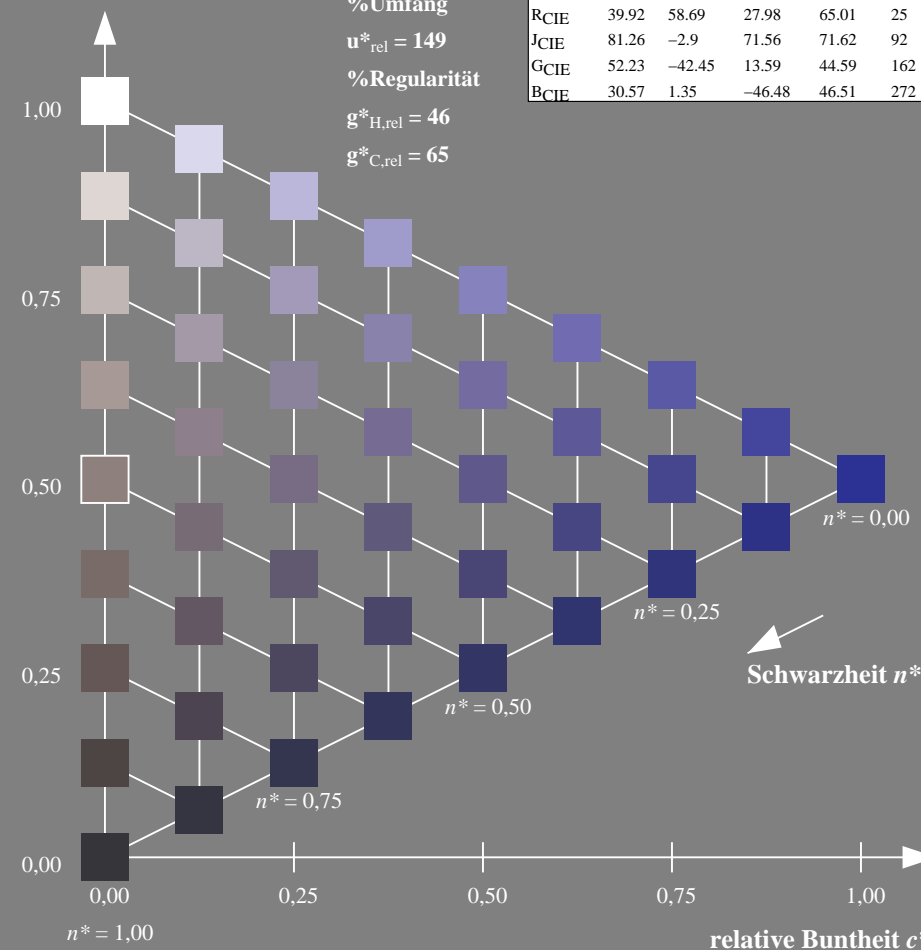
%Umfang

$u_{rel}^* = 149$

%Regularität

$g_{H,rel}^* = 46$

$g_{C,rel}^* = 65$



Ausgabe: Farbmimetrisches Reflexions-System NCS11

für Buntton $h^* = lab^*h = 272/360 = 0,755$

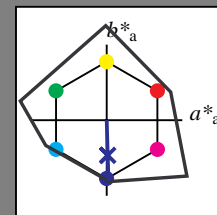
lab^*tch und lab^*nch

D65: Buntton B

LCH*Ma: 49 80 272

rgb*Ma: 0.0 0.02 1.0

Dreiecks-Helligkeit t^*



NCS11; adaptierte CIELAB-Daten					
	$L^*=L_a^*$	a_a^*	b_a^*	$C_{ab,a}^*$	$h_{ab,a}^*$
RMa	47.15	84.64	37.25	92.48	24
JMa	91.37	-1.27	125.03	125.03	91
GMa	63.07	-114.28	25.35	117.06	167
G50B _{Ma}	59.47	-80.6	-33.45	87.28	203
B _{Ma}	49.01	3.65	-81.19	81.28	273
B50R _{Ma}	44.06	106.09	-73.93	129.32	325
N _{Ma}	10.99	0.0	0.0	0.0	0
W _{Ma}	95.41	0.0	0.0	0.0	0
RCIE	39.92	58.69	27.98	65.01	25
JCIE	81.26	-2.9	71.56	71.62	92
GCIE	52.23	-42.45	13.59	44.59	162
BCIE	30.57	1.35	-46.48	46.51	272

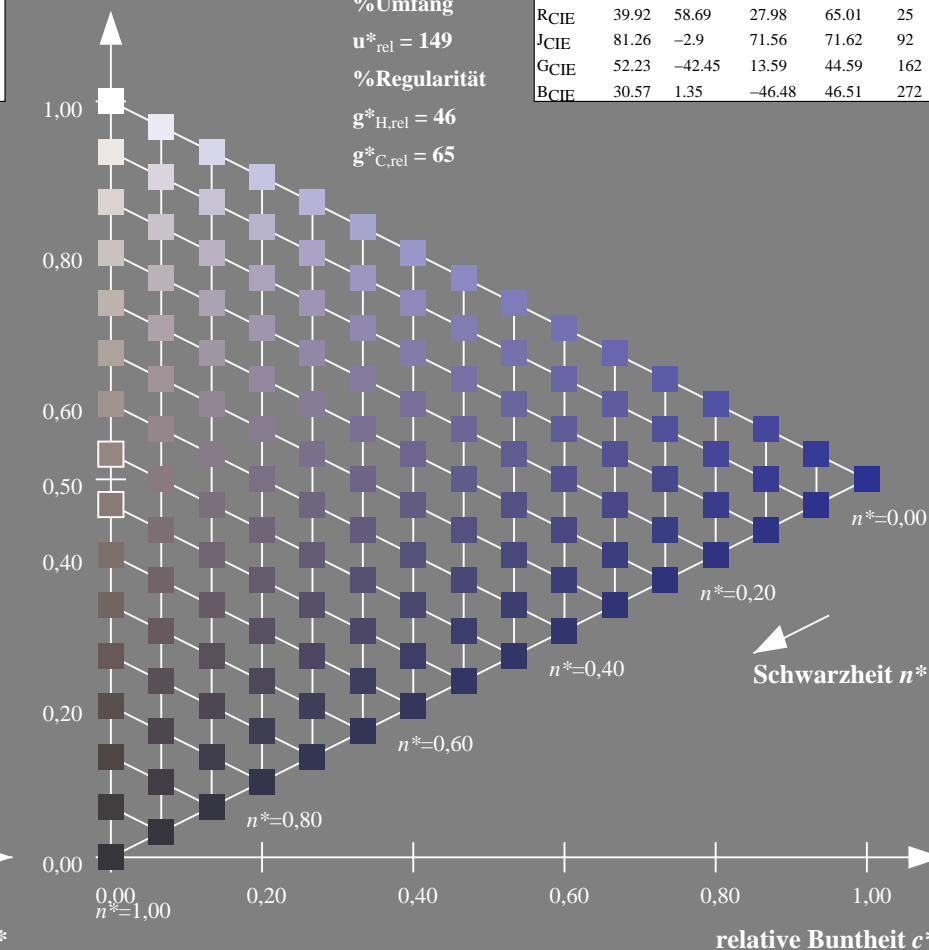
%Umfang

$u_{rel}^* = 149$

%Regularität

$g_{H,rel}^* = 46$

$g_{C,rel}^* = 65$



UG790-7, 9stufige Reihen für konstanten CIELAB Buntton 272/360 = 0.755 (links)

16stufige Reihen für konstanten CIELAB Buntton 272/360 = 0.755 (rechts)

BAM-Prüfvorlage UG79; Farbmimetrik-Systeme NCS11a & NCS11aput: *cmY0* setcmykcolor*

D65: 9 und 16stufige Farbreihen für 10 Bunttöne

output: *no change compared to input*